

Duffing 方程式の数値解と 1 の予想

名古屋大学 教養部 白岩 謙一

§ 0 はじめに

Duffing 方程式の数値的研究は、林千博氏・久保田内下の上田暎亮氏（まだ・エ）及び川上博氏（徳島大・エ）を中心として精力的に行われ、現在日本で最も研究が進んでいる分野の一つである。筆者は最近名古屋大学大型計算機センターを利用して、常微分方程式の数値的研究を開始した。これは上田・川上両氏の研究や最近計算機を使つて仕事をしてゐる宇敷重広氏に刺激され、さらには、1981年1月初めに京都で行われた Symposium での Ja. G. Sinai 氏の講演にも触発されたものである。なお、名古屋大学大型計算機センター利用に因して種々御教示頂いた、二宮市三氏、秦野甯世氏及びセンターの相談員の方々に謝意を表する。

§ 1 単純不動点と Newton 法

$T: \mathbb{R}^n \rightarrow \mathbb{R}^n$ を C^2 級の写像とし、 $p_0 \in \mathbb{R}^n$ を T の不動点、

すなはち、次の(1)を証明することとする。

$$(1) \quad T(p_0) = p_0$$

"ま、 p_0 における T の微分 (または Jacobi 行列) $DT(p_0)$ が 1 を固有値にもたないとき、 p_0 を T の 単純不動点 (simple fixed point) とする。

"ま、 p_0 を T の単純不動点とする。 T は C^2 級だから DT は連続である。ゆえに、 p_0 の適当な近傍 U をとると、次の(2)が成立する。

$$(2) \quad x \in U \implies DT(x) \text{ は } 1 \text{ を固有値にもたない}.$$

$\therefore \tilde{\tau}$, 実像 $G: U \rightarrow \mathbb{R}^n$ を次の

$$(3) \quad G(x) = (1 - DT(x))^{-1} (T(x) - DT(x)x)$$

で定義する。これは(2)からうまく定義でき、(1)なら次の

$$(4) \quad G(p_0) = p_0, \quad DG(p_0) = 0$$

が成立することがわかる。 T は C^2 級だから、 G は C^1 級である。ゆえに DG は連続で、上の(4)なら、 p_0 の適当な近傍 V をとると、次の(5)が成立する。

$$(5) \quad p_0 \in V \subset U \cap \tilde{\tau}, \quad x \in V \implies |DG(x)| \leq \frac{1}{2}$$

($\because |DG(x)|$ は線形写像 $DG(x): \mathbb{R}^n \rightarrow \mathbb{R}^n$ のノルムとする。)すると、(4), (5)なら、適当な V (例えば p_0 を重心とする開域) に対して、次の(6)が成立する。

$$(6) \quad G(V) \subset V \cap \tilde{\tau}, \quad G: V \rightarrow V \text{ は縮小写像}.$$

ゆえに, G は V の 1 つの不動点をもつ. さて (4) と (5),
これは p_0 と一致する. ゆえに, 縮小写像の原理から, V の任意の点 x_0 に対して

$$(7) \quad x_{n+1} = G(x_n) \quad (n \geq 0)$$

とおくと, $x_n \rightarrow p_0$ が成立する. (7) を (3) を従って書き直すと,

$$\begin{aligned} x_{n+1} &= (I - DT(x_n))^{-1} (T(x_n) - DT(x_n)x_n) \\ &= (I - DT(x_n))^{-1} \{ (I - DT(x_n))x_n - (x_n - T(x_n)) \} \\ &= x_n - (I - DT(x_n))^{-1} (x_n - T(x_n)) \end{aligned}$$

となり, 次の (8) が成立する.

$$(8) \quad x_0 \in V, \quad x_{n+1} = x_n - (I - DT(x_n))^{-1} (x_n - T(x_n))$$

とおくと, $x_n \rightarrow p_0$.

また, $H(x) = x - T(x)$, $x \in \mathbb{R}^n$ とおくと, $T(x)$ の不動点は, H の零点, すなわち, $H(x) = 0$ となる点 x と一致する. この H の零点を Newton 法で求めるとき, これは (8) 式である. 次上をまとめると次のようになる.

定理 1 $T: \mathbb{R}^n \rightarrow \mathbb{R}^n$ を C^1 級とする, $p_0 \in \mathbb{R}^n$ を T の単純不動点とするとき, p_0 の適当な近傍 V があるとき, V の任意の点 x_0 に対して $x_{n+1} = x_n - (I - DT(x_n))^{-1} (x_n - T(x_n))$ ($n \geq 0$) とおくと, $n \rightarrow \infty$ のとき, $x_n \rightarrow p_0$ である.

この定理を用いて, T の単純不動点を数值計算によつて求める

める := タイミング.

§2 Poincaré 定像

$f: \mathbb{R}^n \times \mathbb{R} \rightarrow \mathbb{R}^n$ を C^2 級写像とする, 適当な正数 ω に対して

$$(9) \quad f(x, t + \omega) = f(x, t), \quad x \in \mathbb{R}^n, \quad t \in \mathbb{R}$$

が成立するものとする. すなはち, f は t に周期 ω の
周期写像である. いま, 次の形の微分方程式

$$(10) \quad \frac{dx}{dt} = f(x, t), \quad x \in \mathbb{R}^n, \quad t \in \mathbb{R}$$

を考える. さて, 任意の初期条件 $x_0 \in \mathbb{R}^n$, 解の最大存在区間は \mathbb{R} であるものとして, 各 $x \in \mathbb{R}^n$ に対して, 初期条件を $(x, 0)$ とする延長不可能な解を $\varphi(x, t)$ とする. すなはち, $\varphi(x, t) \in \mathbb{R}^n$ はすべての $(x, t) \in \mathbb{R}^n \times \mathbb{R}$ に対して定義され, 次の(11) を満たす.

$$(11) \quad \frac{\partial}{\partial t} (\varphi(x, t)) = f(\varphi(x, t), t), \quad \varphi(x, 0) = x$$

f は C^2 級だから, このよろず φ は一意的, C^2 級である.

いま, 方程式(10) に対して, その Poincaré 定像 $T: \mathbb{R}^n \rightarrow \mathbb{R}^n$ を次の(12) 式によって定義する.

$$(12) \quad T(x) = \varphi(x, \omega), \quad x \in \mathbb{R}^n$$

すると T は C^2 級の微分同相写像である. さて, 任意の正整数 n に対して, T の周期 $n\omega$ の周期点 (T^n の不動点) と方程式(10) の周期 $n\omega$ の周期解が 1対1 に対応する.

さて §1 の方法で T の単純不動点を求めるには, $DT(x)$

$D_x \varphi(x, \omega)$ を求める必要がある。すなはち、 $D_x \varphi(x, \omega)$ は φ の x に関する偏微分 (Jacobi 行列) である。(11) 式を用いると、次の等式を得る。

$$\begin{aligned} \frac{\partial}{\partial t} (D_x \varphi(x, t)) &= D_x \left(\frac{\partial}{\partial t} \varphi(x, t) \right) = D_{x \cdot} (f(\varphi(x, t), t)) \\ &= D_{x \cdot} f(\varphi(x, t), t) D_x \varphi(x, t) \\ D_x \varphi(x, 0) &= 1 \quad (\text{単位行列}) \end{aligned}$$

すなはち、 $D_x \varphi(x, t)$ は次の微分方程式と初期条件を満たす。

$$(13) \quad \begin{cases} \frac{\partial}{\partial t} A(x, t) = D_x f(\varphi(x, t), t) A(x, t) \\ A(x, 0) = 1 \quad (\text{初期条件}) \end{cases}$$

(12) が $t = \omega$ で、(13) の方程式を解いたとき、 $t = \omega$ で置けば、それが $D T(x)$ と一致する。

以上を数値計算でプログラマ化すれば、 T の単純な不確か実、すなはち、(10) の周期 n の周期解 (単純なもの) を求めることができる。周期 $n\omega$ の周期解 (単純なもの) は T^n も同様である。

Sinai は誤差の評価を行ったところによると、Lorenz 方程式の周期解の存在を數学的に厳密に証明することは成功したというが、Duffing 方程式の場合にも、以上のような計算法の誤差の評価が可能であれば、周期解の存在を數学的に証明することができるものと考へられる。

§3 計算例

次の形の Duffing 方程式を考える。

$$(14) \quad \frac{d^2x}{dt^2} + A \frac{dx}{dt} + x^3 = B \cos t$$

この方程式は、次のような直交座標系と同値である。

$$(15) \quad \begin{cases} \frac{dx}{dt} = y \\ \frac{dy}{dt} = -Ay - x^3 + B \cos t \end{cases}$$

この方程式の Poincaré 実像を $T: \mathbb{R}^2 \rightarrow \mathbb{R}^2$ とし、上記の考察と凡て同じである。

$$(16) \quad A = 0.25, \quad B = 8.5$$

の場合には、計算法は 4 次の Runge-Kutta 法である。また、計算幅は $2\pi/300$ で、单精度及び倍精度の両方を用いた。

初期値を $x_0 = (3.0, 0.0)$ とし、Poincaré 実像 T による軌道の一部 $\{T^n(x_0) \mid 0 \leq n \leq 1000\}$ をグラフで表示したものが図 1 (单精度) 及び図 2 (倍精度) である。これらの図からわかることは、この運動は非同期的で不規則であり、单精度でも倍精度でも似たような图形を描くことである。

一方、この軌道を $1 \leq n \leq 24$ の範囲で数値的に表示したものが表 1 (上が单精度、下が倍精度) である。この表からわかることは、n が増すにつれて单精度による数値と倍精度による数値は大体一致するが、n=10 位になると、これらの数値の間に大幅に差が生じる。そして、n=22 になると

图 1

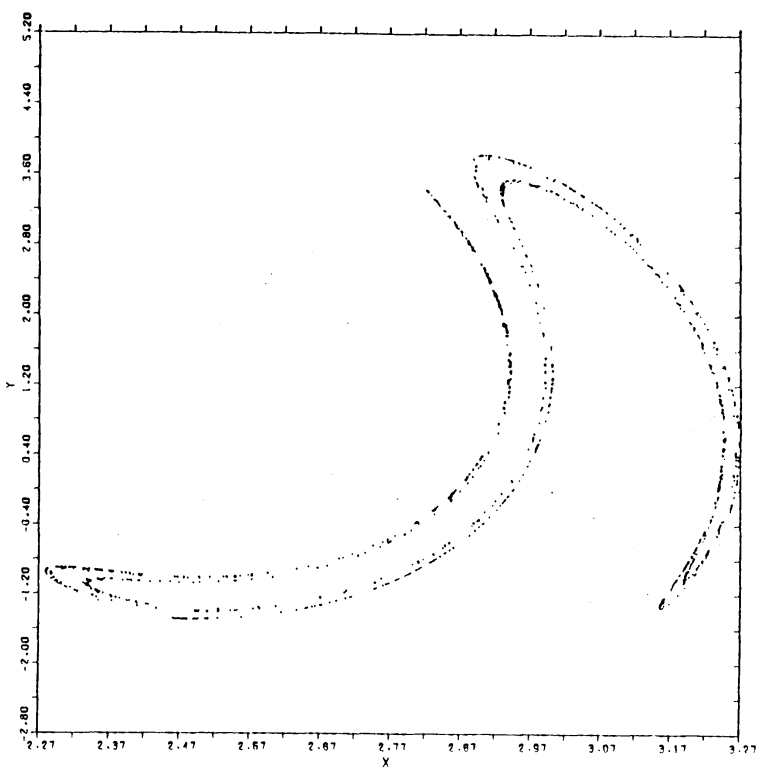
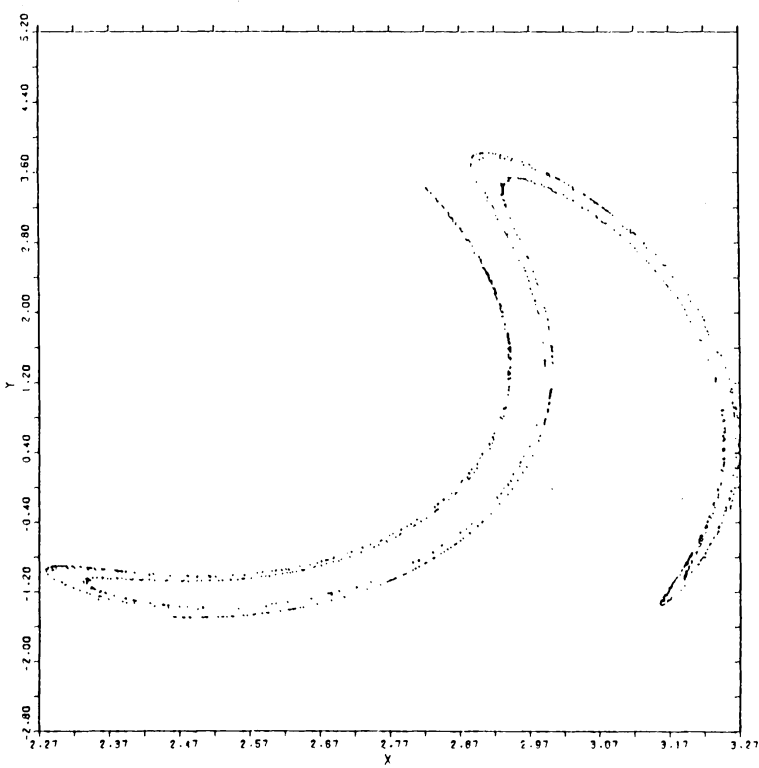


图 2



A = 0.25000 B = 8.50000

X(0) = 3.00000 Y(0) = 0.0

KIZAMI = PI2/ 300 KAISU = 24

K	X	Y	K	X	Y	K	X	Y	K	X	Y
1	2.35397	-1.27061	2	2.91767	2.23333	3	2.93743	3.80120	4	2.47050	-1.47457
4	3.15536	-1.29566	5	2.472863	1.92863	6	2.88827	0.25805	7	2.37051	-1.21229
10	3.20523	-0.95415	8	2.90309	2.2001	9	2.88890	3.59544	11	2.90309	-0.34089
13	2.82135	-0.43549	14	3.25556	-0.22001	15	2.97899	-0.95067	16	3.22528	-0.65776
19	3.00228	-0.56218	17	3.00083	1.38844	18	2.93082	3.39548	20	3.17321	-1.09194
22	2.59545	-0.94945	23	2.68010	-0.86100	24	2.63622	-1.37063			

A = 0.25000 B = 8.50000

X(0) = 3.0000000000 Y(0) = 0.0

KIZAMI = PI2/ 300 KAISU = 24

K	X	Y	K	X	Y	K	X	Y	K	X	Y
1	2.353921	-1.2716125	2	2.9179834	2.2348605	3	2.9394973	3.795745	4	2.4726152	-1.471772
4	3.155768	-1.2941047	5	2.4726152	2.0598367	6	2.8851913	0.2200851	7	2.3626278	-1.1949924
10	3.1649525	-1.3007174	11	2.5309437	-1.4443069	12	2.7930596	-0.4264934	13	2.3704052	-1.0321104
16	3.2194898	-0.7831861	17	2.9891288	1.504407	18	2.8947760	3.5068119	19	2.5104589	-1.0091548
22	2.9050876	2.5116933	23	3.0804507	3.1868615	24	2.3341242	-1.031546			

表

1

全く似てゐるかの値となる。(しかし、図1, 2からは、その軌道はほとんど同じような图形を示すことがわかる。) したがつて、 $\S 4$ で述べた方法で、この例についてTの單純不動点を探して、次の3個が見付かる。計算は倍精度である。そこで、DTの固有値 λ_1, λ_2 と合わせて表すと、次の表2となる。

$$P_1 = (2.99165\cdots, 1.29820\cdots), \quad \lambda_1 = 6.98105\cdots, \lambda_2 = 0.02977\cdots$$

$$P_2 = (3.22359\cdots, 1.54147\cdots), \quad \lambda_1 = -0.11093\cdots, \lambda_2 = -1.87380\cdots$$

$$P_3 = (2.62427\cdots, -0.96249\cdots), \quad \lambda_1 = -0.11093\cdots, \lambda_2 = -1.87380\cdots$$

表 2

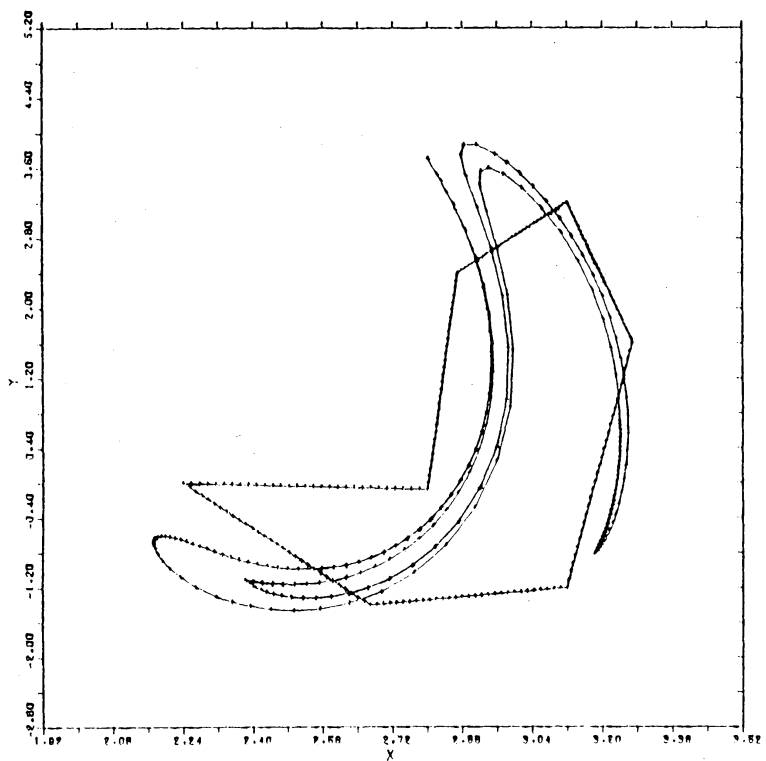
したがつて、これらはすべて鞍点である。

次に図3の7角形  をTで写像した像は同じ図3の  の形の图形になることがわかる。この像は図1, 図2の图形と似てゐるが、位相的には Smale の馬蹄形微分同相写像 (horseshoe diffeomorphism) の変形 (または一般化) である  と一致する。

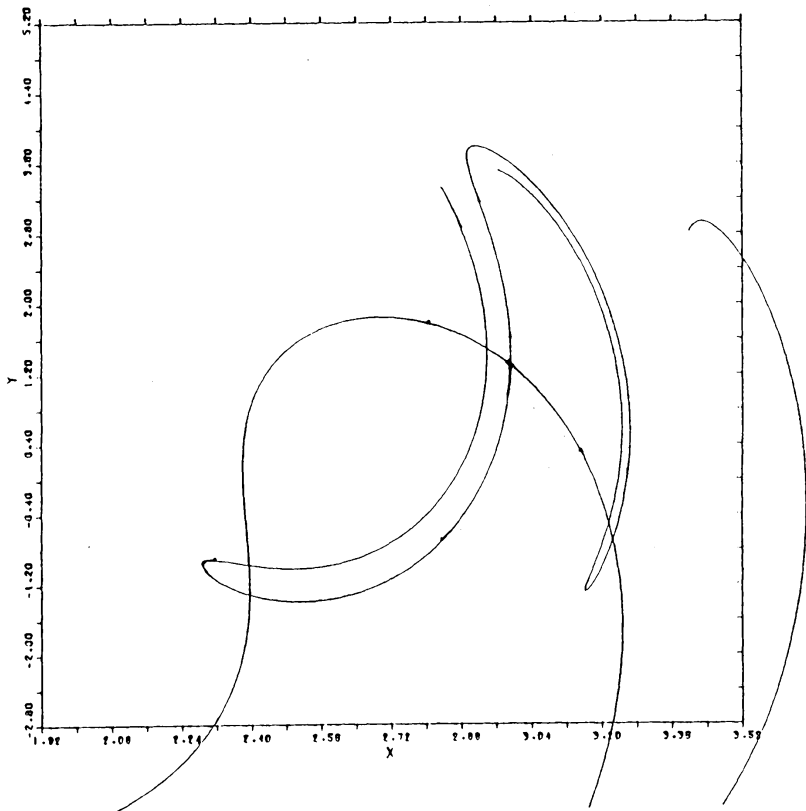
次に実 P_1 における安定多様体及び不安定多様体を求める。図4のようになる。安定多様体及び不安定多様体を数値的に求める方法については、川上伸一郎の著書を頼むが、例えば Hartman : Ordinary Differential Equations, Wiley の

160

☒ 3



☒ 4



Chapter IX, Lemma 5.1, pp. 234 - 238 にありますように、
次近似法によると、局所的な安定多様体を求め、これを Poincaré 四像と用いて全体に拡大すると、この方法をとること
ができます。この図4は図1及び図2の图形と似た形の曲線が p_1 の
不安定多様体で、もう一方の簡単な形の曲線とその断片が、
 p_1 の安定多様体である。図4には homoclinic points が示されています。これを注意されたい。

以上で図1, 図2, 図3, 図4から判断すると、 $A=0.25$,
 $B=8.5$ の場合(15)式の Duffing 方程式は表れた strange
attractor は Smale の鳥綿形微分同相写像(一般化)の
非遊走集合であるように思えます。

§4 1. の予想

一般的に strange attractor が観察された場合(12), (13), (14)
の予想を提出します。この準備として、C.C. Conley の定
義した鎖回帰集合(chain recurrent set)と R. Bowen
の定義した擬軌道追跡条件(pseudo-orbit tracing pro-
perty)の概念を述べる。

X を距離空間, d をその距離とする, $T: X \rightarrow X$ を同相写像
とする。 α を正数とする。 $\{x_i\}_{i \in \mathbb{Z}}$ を X の点列とするとき
, $\{x_i\}_{i \in \mathbb{Z}}$ が 擬軌道であるとは, 次の条件

$$(17) \quad d(T(x_i), x_{i+1}) < \alpha, \quad i \in \mathbb{Z}$$

が成立するときをいふ。また、 β を正数とするとき、擬軌道 $\{x_i\}_{i \in \mathbb{Z}}$ が点 $x \in X$ を β 追跡(β -trace, β -shadow)されるとは、次の条件

$$(18) \quad d(T^i(x), x_i) \leq \beta, \quad i \in \mathbb{Z}$$

が成立することである。

また、 T が β 追跡条件を満たすとは、任意の正数 β に対し、適当な正数 ϵ がありて、任意の ϵ 擬軌道は適当な X の点によつて β 追跡されるときをいふ。

計算機による数値計算で求められる軌道は常に適当な正数 ϵ に対する ϵ 擬軌道であつて、この ϵ は單精度より倍精度のときの方が小さいものと考えられる。

次に、点 $x \in X$ が鎖回帰的(chain recurrent)であるとは、任意の正数 ϵ に対して、適当な ϵ 擬軌道 $\{x_i\}_{i \in \mathbb{Z}}$ を次の条件(19)を満たすものが存在することをいふ。

$$(19) \quad \text{適当な自然数} N \text{があつて}, \quad x_{i+N} = x_i, \quad i \in \mathbb{Z},$$

かつ $x_0 = x$ である。

鎖回帰的な点全体の集合 $R = R(T)$ を T の鎖回帰集合(chain recurrent set)といふ。 $X = R$ となるとき、 T は鎖回帰的(chain recurrent)であるといふ。Conleyは次のことを証明した。 R は非遊走集合 Ω を含む閉不変集合であつて、 X がコンパクトなら、 $T|_R : R \rightarrow R$ は鎖回帰的

である。また、J.E. Franke - J.F. Selgrade (J. Diff. Eq. 26 (1977), 27-36) は、 X のコンパクトな部分可能多様体 T が微分同相写像のとき、

R が双曲型 (hyperbolic) $\Leftrightarrow \begin{cases} \text{no cycle 条件を満たす公理 A} \\ \text{微分同相写像} \end{cases}$

※成立 $T^3 = T$ を示し、このとき、 $S^1 = R$ であることを示せ。

以上のおもな概念と計算例等をもとに、コンピューターを用いて観測される (strange) attractor A は次の条件を満たす不変集合であることを示す。

(A)

(a) A は attractor である。すなはち、次の条件 (i), (ii) を満たすような A の適当な開近傍 U が存在する。

(i) $T^n(U) \subset U$, $n \geq 0$

(ii) A の任意の開近傍 V に对于して、適当な自然数 N がある、 $n \geq N \Rightarrow T^n(U) \subset V$

(b) A は全周回的である。

(c) A は推移的 (transitive) である。すなはち、適当な点 $x \in A$ があって、その軌道 $\{T^n(x) | n \in \mathbb{Z}\}$ は A で稠密である。

(d) $T|_A$ は擬軌道追跡条件を満たす。